

超 高 频 发 射 机 设 计 与 计 算

A. B. 伊 万 諾 夫

B. A. 庫 普 里 雅 諾 夫 著

Л. Н. 索 斯 諾 夫 金

內 部 資 料 注意 保 存



國 防 工 業 出 版 社

~~38611~~ TN83/1

超高频发射机设计与计算

A. B. 伊万诺夫
B. A. 库普里雅诺夫 著
Л. Н. 索斯諾夫金
康宝瑾 譯
張 汝 陈怀琛校



国防工业出版社

— 1964 —

內容簡介

本书是苏联红旗军事通信工程学院于 1956 年出版的。它讲述了超高頻三极管振蕩器、速調管振蕩器、磁控管振蕩器的电路、结构及工作状态的計算等問題。对振蕩系統元件的計算和与負載的耦合等問題也作了介紹。同时，对脉冲調制器及其有关問題也作了詳細的介紹。

书中列有习題，可作为讀者运用本书进行实际設計計算时的参考。书后附有一些有关計算电感电容的实用公式，还列有几种主要电子管的特性，可供設計計算时使用。

本书适用于在雷达技术方面从事生产設計及科学的研究的工程技术人員，同时也可供有关专业的大专学校教師及学生参考。

РАСЧЕТ И ПРОЕКТИРОВАНИЕ ПЕРЕДАТЧИКОВ СВЧ

А. Б. Иванов, В. А. Куприянов, Д. Н. Сосновкин
ВОЕННАЯ КРАСНОЗНАМЕННАЯ ИНЖЕНЕРНАЯ
АКАДЕМИЯ СВЯЗИ ИМЕНИ С. М. БУДЕННОГО

ЛЕНИНГРАД 1956

*

超高頻发射机設計与計算

康宝璕譯

張 汝 陈怀深校

国防工业出版社 出版

北京市书刊出版业营业許可证出字第 074 号

国防工业出版社印刷厂印刷 内部发行

*

850×1168 1/32 印張 8 9/16 218 千字

1964 年 2 月第一版 1964 年 2 月第一次印刷 印数：0,001—1,100 册

统一书号：N15034·699 定价：2.40 元

目 录

前言	6
緒論	7
第一章 自激式米波三极管振蕩器	11
§ 1.1 米波振蕩器的电路与結構	11
§ 1.2 振蕩管工作状态的計算	17
§ 1.3 振蕩系統的电計算	21
§ 1.4 米波振蕩器振蕩系統元件的结构計算	26
§ 1.5 与負載耦合的計算	32
第二章 分米波三极管振蕩器	45
§ 2.1 分米波振蕩器的电路与結構	45
§ 2.2 电子管工作状态的計算	50
§ 2.3 振蕩系統的电計算	57
§ 2.4 振蕩系統的结构計算	59
§ 2.5 与負載耦合的計算	63
第三章 速調管振蕩器	66
§ 3.1 概述	66
§ 3.2 反射式速調管	72
§ 3.3 速調管諧振腔元件的结构計算	82
§ 3.4 阴极结构和电子枪	94
§ 3.5 选择功率速調管振蕩器的基本结构参数的依据	95
第四章 超高頻磁控管振蕩器的設計与計算	100
§ 4.1 近代磁控管振蕩器的簡要特性	100
§ 4.2 設計磁控管时任务的提出	102
§ 4.3 研制新式磁控管方法的特点	105

§ 4.4 动态工作状态的计算	108
§ 4.5 振荡系统的设计与计算	113
§ 4.6 计算异腔磁控管的实用方法	127
§ 4.7 磁控管输出设备的设计与计算	129
§ 4.8 磁控管的磁路	142
§ 4.9 磁控管某些工作特性的计算	145
§ 4.10 可调谐的磁控管	146
§ 4.11 连续振荡的磁控管	155
§ 4.12 磁控管结构设计的某些问题	160
第五章 脉冲调制器	165
§ 5.1 脉冲调制器的型式	165
§ 5.2 用来调制三极管振荡器之储能器部分放电式调制器的计算	168
§ 5.3 用来调制磁控管振荡器之电容部分放电式调制器的计算	172
§ 5.4 储能电容器完全放电式调制器线路的选择	177
§ 5.5 仿真线的电计算	182
§ 5.6 脉冲变压器的电计算	185
§ 5.7 脉冲变压器的结构计算	188
§ 5.8 充电电路元件的计算	193
附录 I	
电感和电容的计算	197
附录 II	
风冷式脉冲振荡三极管 ГИ-6Б	204
风冷式脉冲振荡三极管 ГИ-7Б	208
风冷式脉冲振荡三极管 ГИ-11Б	211
风冷式脉冲振荡三极管 ГИ-12Б	214
脉冲振荡五极管 ГИ-8	217
风冷式脉冲振荡三极管 ГИ-17	219
风冷式脉冲振荡三极管 ГИ-70Б	223
附录 III	
脉冲振荡双集射四极管 ГИ-30	228

脉冲調制三极管 ГМИ-30.....	233
脉冲調制四极管 ГМИ-83.....	236
脉冲調制四极管 ГМИ-89.....	241
脉冲調制四极管 ГМИ-90.....	246

附录 IV

脉冲調制充气閘流管 ТГИ1-90/8.....	250
脉冲調制充气閘流管 ТГИ1-325/16.....	254
脉冲調制充气閘流管 ТГИ1-400/3.5.....	256
脉冲調制充气閘流管 ТГИ1-400/16.....	260
脉冲調制充气閘流管 ТГИ2-200/3.5.....	264

附录 V

脉冲变压器的参数及繞組配置.....	268
--------------------	-----

参考文献.....	274
-----------	-----

前　　言

本参考书是打算給在脉冲无线电技术領域內从事专业学习的学生使用的。在編写本书时，作者未局限于例举这一些或另一些計算方案，而且指出某些理論原則并举例說明它們的可能計算方法。按作者的意图，这种形式的参考书不仅对課程設計和毕业設計有用，而且对自学“无线电发射设备”課程的学生也是有益的。

第 1, 2 章和 5 章是由 Л. Н. 索斯諾夫金所写。第 4 章是由 В. А. 庫普里雅諾夫所写。第 3 章是由 А. Б. 伊万諾夫所写。А. Б. 伊万諾夫还对全书进行了校閱。

在 А. М. 謝明諾夫領導下，由教研室集体討論初稿时，提出了許多批評意見，在最后校閱时已經考慮了这些意見。

緒論

发射机是现代雷达设备的一个重要部分。发射机一般是高频振荡器和控制设备的合成。

在绝大多数情况下，雷达发射机的振荡器是用大空度的脉冲状态工作于超高频波段。在某些特殊场合，超高频振荡器也用連續状态工作。

要制造雷达发射机，必须确定合适的频率范围（或固定频率），选择超高频振荡器和调制器的线路，并对它们进行计算。

不同用途的雷达，与其工作频段相应的波长，从几米到几厘米甚至几毫米。

用脉冲状态工作的雷达发射机，其脉冲宽度从几微秒到十分之几微秒。在两个連續脉冲或脉冲群之間的间隔，較脉冲本身的宽度大几百到几千倍。因此，其空度也用上千的数量級来量度。

在脉冲期间高頻振蕩所产生的功率决定于雷达的用途，一般在十千瓦到几兆瓦范围之内。

通常远程搜索和目标指示（引导）雷达工作于超高频波段的米波部分，在厘米波部分，正如大家所知道的，有炮瞄雷达、轰炸瞄准雷达、地面目标搜索雷达。与此同时，在厘米波段的长波部分也有远程搜索雷达工作，一厘米左右及更短的波段目前还没有普遍掌握，这是因为大气条件强烈影响了短的厘米波和毫米波的传播，使它们的实际应用变得复杂化了。

对于远程搜索雷达，其特点是运用宽度较长、功率很强的脉冲。采用这种脉冲在脉冲期间可以向照射空间的单位体积中辐射

較大的能量。增大脉冲寬度也可以减小接收机的通頻带，因此可以使內部和外部干扰对信号可辨度的影响显著降低；換句話說，应用寬脉冲可以提高信号噪声比。

所有这些綜合起来，可以显著增大搜索距离——远程搜索雷达的基本参数。而在这种情况下，对脉冲的波形是不提什么严格要求的。

在必要增大远程搜索雷达的距离分辨力时，就要被迫减小脉冲寬度。在米波波段，高頻振蕩器建立的时间和必須由数千个高頻振蕩周期組成的高頻脉冲，以保证檢波以后能够分出視頻脉冲，是减小脉冲寬度的界限。

在高頻振蕩的波長約为 $\lambda=5$ 米时，建立过程的时间約等于 1 微秒，而 1000 个周期的时间約等于 16 微秒。因之，在該波段范围内，調制发射机的脉冲寬度不能小于 20 微秒左右。当然，这种雷达的距离分辨力，对于許多战斗使用的远程搜索雷达，是完全不够的。

在过渡到超高頻厘米波段时，雷达分辨力的提高才能够实现。例如，在波长为 10 厘米时，应用寬度約为 0.3 微秒的脉冲是完全可能的。

在短促脉冲条件下，当必須保持大的雷达作用距离时，就要使高頻振蕩的脉冲功率增大到数千千瓦甚至数万千瓦。可以指出，一部超高頻振蕩器不能保证获得这样大的功率。在这种情况下，就要采用几部产生不同頻率振蕩的超高頻振蕩器，并使它們均在自己的饋綫系統上給天綫饋电，以产生雷达总方向性图的一部分。

对于炮瞄雷达 (COH) 来說，希望采用很短促的脉冲(約 1 微秒)，而又沒有任何寄生的振幅和頻率調制的高頻振蕩。

对于轰炸瞄准雷达、船用导航雷达、地面目标搜索雷达，都要求更短的脉冲。

現代航空速度的增长，迫使增大炮瞄雷达的作用距离，这就引

起了高頻振蕩功率的显著增加。

在現代条件下，为了提高雷达的抗干扰性，必須以很大的力量来解决发射設備在足够寬的頻段內工作的可能性。

目前，超高頻振蕩器已广泛地采用了电子管、磁控管、速調管和行波管。

对米波波段的雷达來說，运用电子管振蕩器是最适宜的，它可以获得足够大的功率，并能在較寬的波段內工作。

在厘米波范围内，多腔磁控管最适于作超高頻功率振蕩器，在某些場合下，运用速調管振蕩器也是合适的。

在厘米波波段接收設備中，利用反射速調管和很有前途的行波管和返波管。

与电子管振蕩器相比較，磁控管和速調管振蕩器的特点是：振蕩頻率与供电电压和某些其它确定振蕩器工作状态的数值(例如，当使用磁控管振蕩器时，固定磁場的数值)的变化有极大的关系。

为了使发射机-能量反射器-接收机的全部通信綫在脉冲工作时能正常工作，必須要有无調頻振蕩的高頻脉冲。因为，大家知道，当充填无线电脉冲的高頻有了頻率調制以后，就使辐射振蕩的頻譜形状严重失真，并破坏全部通信綫的正常工作。但要实现这个条件，若确定目标的座标愈是精确，必須保证的作用距离愈远，那末对調制超高頻振蕩器的脉冲波形的要求也就愈严。

雷达的用途和在該雷达发射設備中所采用的振蕩器的型式，确定了对发射机脉冲調制器的要求。

当必須获得强功率調制脉冲时，最好采用以仿真綫作儲能器的調制器，和带有能够通过大脉冲电流的离子管轉換器的二端网絡形成器。

根据对脉冲波形提出的要求，特别是对脉冲頂部电压稳定性的要求的严格程度，来确定采用复杂性較多或者較少的仿真綫电路。根据对脉冲发射瞬间散布值和脉冲重复频率的要求，则利用火

花放电器或充氩閘流管，以提高这些要求。

当脉冲功率較小时，运用三极气体放电管是适宜的。

对于远程搜索雷达，以及对于希望簡化发射机的线路和組成而允許脉冲参数有稍許变坏的雷达，看来使用带有仿真線的調制器更为可取。

炮瞄雷达往往采用儲能电容器部分放电的調制器，因为它可以获得良好的脉冲波形，特別是可以得到非常平坦的頂部。在希望获得很短促的矩形脉冲的其它場合，利用这种調制器亦是适当的。

可以指出，在許多情况下，使用非線性电感来組成脉冲調制器是最好的，但此問題超出了本参考书研究的范畴。

这样一来，脉冲雷达的发射机是由高頻振蕩器，脉冲調制器和电源組成的。

設計发射机的主要原始数据是：振蕩的波长（或波段）、脉冲振蕩功率、脉冲寬度、脉冲重复频率。

此外，根据应用雷达的实际条件，也可以提出其它附加的要求：频率稳定度、体积和重量的限制等等。

在已获得的原始数据的基础上，对高頻振蕩器的型式加以选择、对振蕩器作电計算，以及在本設計阶段，如果有好处的話就进行結構計算。

在計算高頻振蕩器时所获得的数据，能够用来确定对脉冲調制器的要求。在这种或那种調制器已知特性的基础上，选择脉冲調制器的型式，并进行計算。

然后，与电源一起，对整个发射机的詳細結構进行試制。电源的設計与計算問題不在这里研究。」

在本参考书中，闡述了超高頻电子管振蕩器、速調管和磁控管振蕩器，以及各种型式的脉冲調制器的計算、部分設計与結構的問題。

第一章 自激式米波三极管振荡器

§1.1 米波振荡器的电路与结构

振荡器的电路与结构，由振荡器所采用的振荡管型号与数量和振荡系统的型式来确定。

在米波波段振荡器中，由于电子惰性的影响并不显著，所以采用的电子管，与短波波段所采用的振荡管，原则上差别不大。仅仅在米波振荡管的结构中，采取减小极间电容和电极（主要是阳极和栅极）引线电感，以及消除管底，以减小在玻璃泡中的损耗等措施。

利用自感线圈（在波段的长波部分）和短路双导线（在波段的短波部分，当 $\lambda < 2 \sim 3$ 米时）作为米波振荡器的振荡系统的元件。

在米波波段，推挽电路的振荡器获得了最广泛的应用。主要是因为它具有比较合理的振荡系统的结构，以保证辅助元件的数量最少。

电子管的接入，可以用不同的方法来实现，或者用共阳极电路（图 1.1）和共栅极电路（图 1.2），或者用三个外部电抗接到振荡管

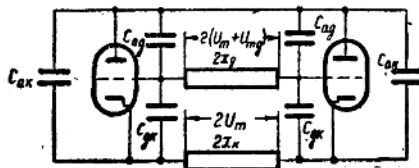


图 1.1

阳极、栅极和阴极之间的电路（图 1.3）。

选择这种或那种电路型式，依赖于电子管的结构和振荡系统

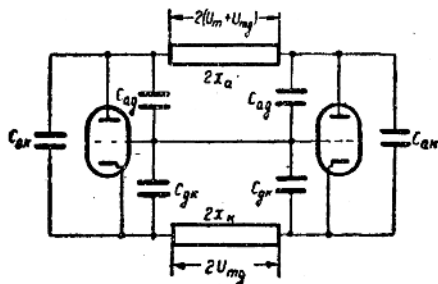


图 1.2

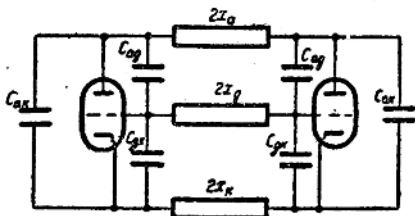


图 1.3

的型式。例如，功率振荡器需要在电子管的阳极加上大的散热器来冷却。所以在这种振荡器中应用共板极电路较为合理，因为在其它电路中，在电子管阳极之间，有大振幅的高频电压 $U_{\text{最大}} = 2(U_m + U_{mg})$ ，这就需要疏散阳极以防止击穿。而这又不是常常可以做到的，特别是在用双导线作振荡系统的情况下更不可能。

用集中元件作振荡系统的振荡器，其电路形式的选择依赖于所需要的回授系数。在共栅极电路中，可以获得足够大的回授系数 $k \geq k_0 = \frac{C_{ak}}{C_{gk}}$ ，而在共阳极电路中，则相反， $k \leq k_0$ 。

交叉回授电路(图 1.4)亦获得运用，在这种电路中，根据耦合电容器(C_{cb})的电容量，实际上可以获得任何数值的回授系数。

具体实用电路的方案是多种多样的。它们之中的某些如图 1.5 和 1.6 所示。图 1.5 是共阳极电路，而图 1.6 则是共栅极电路。在

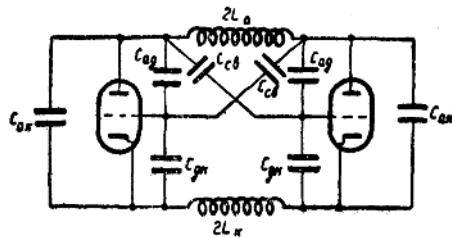


图 1.4

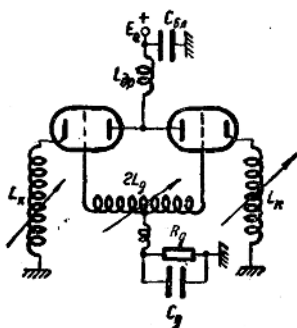


图 1.5

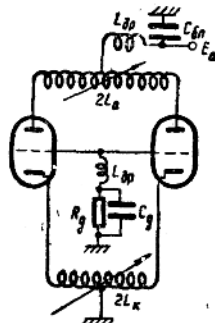


图 1.6

这些电路中，調整柵極或者陽極之間的電感能夠改變振盪頻率，而回授系數則用調整陰極電感來改變。

陰極電感通常是用管狀導線做成自感線圈的形式，供給燈絲的導線由管內引入振盪管。

可以用不同的方法來改變線圈的電感量。圖 1.7 和 1.8 所示線圈的結構，是用靠緊線圈導線的帶槽的滾柱來接觸的，滾柱可圍繞導向軸自由旋轉，並沿着導向軸滑動。第一種結構，用轉動線圈的方法來移動接觸點，而第二種結構，則用轉動固定線圈內部的導向軸來移動接觸點。兩種結構的線圈都是由繞線方向相反的兩部分組成的，這樣可以保證接觸點的對稱移動。

利用彈簧接點可以保證與線圈導線有比較可靠的接觸。圖 1.9

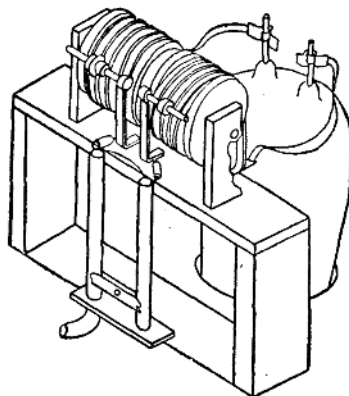


图 1.7

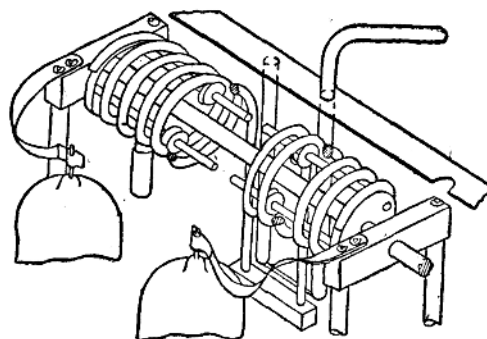


图 1.8

~1.12 是这种接点结构的例子。图 1.9 的結構, 当綫圈 1 移动时, 与邻近圈接触的彈簧片 2 就沿綫圈滑动。图 1.10 表示了用銅帶繞成“肋骨”形的綫圈 1 的結構, 弹簧接点 2 围繞綫圈轉动, 并沿着銅帶的外側滑动。图 1.11 所示的結構, 線圈 1 在短路套管 2 內轉动, 弹簧接点装在短路套管的末端。当轉動綫圈时, 套管沿着綫圈移动, 以改变电感。这种結構比較复杂, 但能保证較可靠的接触。

图 1.12 是用螺旋形电感綫圈 1 的振蕩器的結構图。用带有

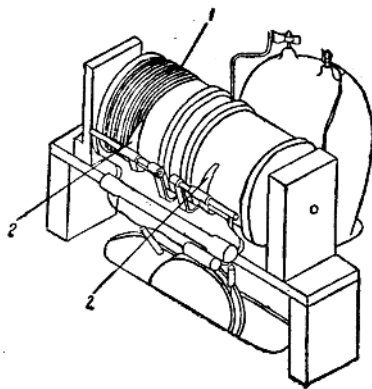


图 1.9

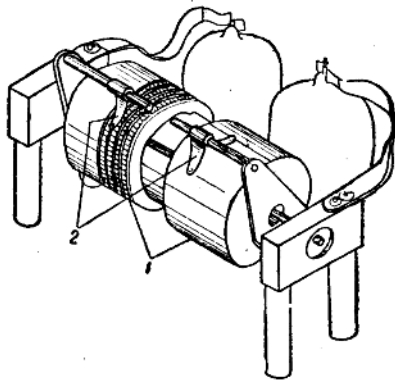


图 1.10

彈簧接点的短路平板 2 来使它沿綫圈滑动，以改变电感量。平板沿着固結在螺旋綫中心軸上的卡箍作徑向移动。

以上所研究的結構，在米波波段的長波部分使用（大約 $\lambda > 1.5$ 米）；在波段的短波部分，則采用双导綫長綫。

图 1.13 是使用长綫的振蕩器的电路图。长綫可以是直的（图 1.13），也可以弯成圓形（图 1.14），以減小外廓。利用带有彈簧接

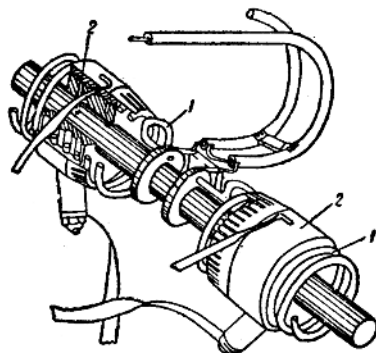


图 1.11

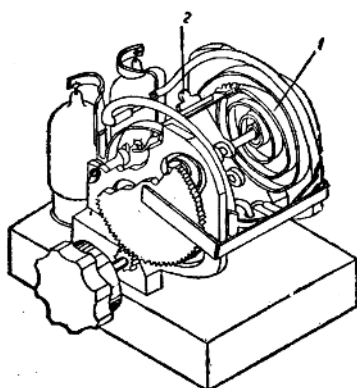


图 1.12

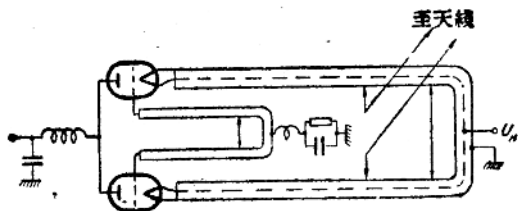


图 1.13